

гл.ас.инж. Нели Генчева Георгиева - ВМЕИ Варна

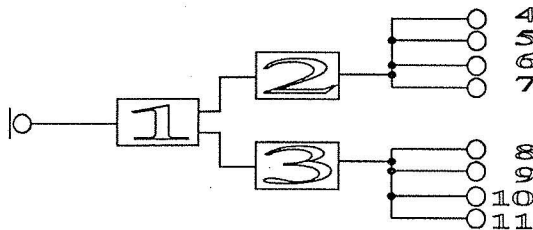
ст.ас.инж. Илиян Иванов Попов - ВМЕИ Варна

ст.ас.к.н.т.инж. Антон Славчев Георгиев - ВМЕИ Варна

гл.ас.инж. Георги Евтимов Тодоринов - ВМЕИ Варна

1. Блокова и принципни схеми на изследваната система

Блоковата схема на устройството (фиг.1) се състои от формировател - 1, два блока за управление на стъпкови двигатели-2;3 и осем стъпкови двигатели-4-11.



фиг.1

Формирователят (фиг.2) представлява аналогово цифрово устройство, което усилва получения от микрофон музикален сигнал и преобразува ритъма на музиката в управляващи импулси, които се подават към схемите за управление на стъпковите двигатели. Приложен е амплитудно честотен метод за определяне на ритъма на музикалния сигнал, като при детекция на обвиващата се използва АРУ с времеконстанта много по-голяма от продължителността на такта на музикалния сигнал.

Двата идентични блока за управление на стъпковите двигатели (фиг.3) са цифрови устройства, които реверсират двигателите при всеки следващ управляващ импулс. При всяко реверсиране се подава команда "стоп" за убиване на механичната инерция. При липса на управляващи импулси (липса на музикален сигнал), движението на двигателите се забранява [1].

2. Оценка на експлоатационната надеждност.

Управляващото устройство е изградено на базата на полупроводникови елементи и ИС производство на "Микроелектроника" АД-Ботевград.

Блоковете на формирователя и двете управления на стъпковите двигатели са оформени на три двустранно опроводени печатни платки. Запояването се извършва ръчно. При работа, температурата в контролера се покачва до 53°C при температура на околната среда 20°C . Печатните платки не са лакирани. Запрашеността в помещението в които работи системата е голяма. Поради това еквивалентното съпротивление на високоомните резистори намалява след продължителна експлоатация, което влияе на режима на работа на активните елементи в схемата.

Анализа и оценката на експлоатационната надеждност на контролера се основават на данни, получени от експлоатацията на 600 устройства, за период от време 2 години, при 8-часова работа дневно.

В таблици 1 и 2 са изнесени данните за експлоатационната надеждност и изчислените стойности за статистическите точкови оценки на вероятността за безотказна работа за период 1 година - $P^*(1g)$, средното време до отказ T_0 и интензивността на отказите $\lambda_{i\Gamma}^{*cp}$. Изчислена е и статистическата интервална оценка с едностраниен доверителен интервал на интензивност на отказите $\lambda_{i\Gamma}^{*cp}$.

При изчисляването на статистическите точкови оценки на интензивност на отказите е използван израза [3]:

$$\lambda_i^* = \frac{r_i(t, \Delta t)}{N_i \Delta t} \quad (1)$$

където r_i е броят на отказите в елементите от i -тия вид

N_i - брой на елементите от i -тия вид

Δt - времето за изпитване на елементите

$t=0$ - началния момент на изпитванията.

Горната граница на едностраниен доверителен период на интензивността на отказите е определен чрез израза:

$$\lambda_{ir}^2 = \frac{\chi_p^2}{2Nt} (2r_i + 2) \quad (2)$$

Квантиите на разпределението χ^2 , за различен брой откази, при достоверна вероятност $P=0.9$, са дадени в таблицата от приложение N1 на [2].

Статистическата точкова оценка на вероятността за безотказна работа се изчислява съобразно израз (3):

$$P^*(t) = \frac{N - r(t)}{N} \quad (3)$$

Вероятността за безотказна работа е изчислена с помощта на данните за отказите получени за две години. С цел съпоставимост на резултатите, вероятностите са приведени за едногодишен срок на експлоатация.

Статистическата точкова оценка на средната отработка до отказ е изчислена при план на изпитване NBT [4], в съответствие с формула (4):

$$T_0^* = \frac{1}{N} \sum_{i=1}^N t_i \quad (4)$$

Статистическата точкова оценка на параметъра на потока на отказите, w за блок формирвател е $9,1 \cdot 10^{-6} 1/h$. Средното време между отказите - T^*_{cp} е $0,11 \cdot 10^6 h$.

За блок управление w^*_{00} има стойност $6,7 \cdot 10^{-6} 1/h$, а T^*_{cp} е $0,15 \cdot 10^6 h$.

За целия контролер w^*_{00} е $22,5 \cdot 10^{-6} 1/h$, а T^*_{cp} е $0,04 \cdot 10^6 h$.

3. Анализ на отказите и препоръки за повишаване на надеждността.

Разглеждането на резултатите в таблица 1 и таблица 2 налага извода, че надеждността на устройството намалява значително поради сравнително голям брой откази в малко на брой електронни елементи. Това касае най-вече отказите в D4 фиг.2 и в U11, U12, U1 и U2.

Поради закономерния характер на тези откази бяха анализирани режимите им на работа.

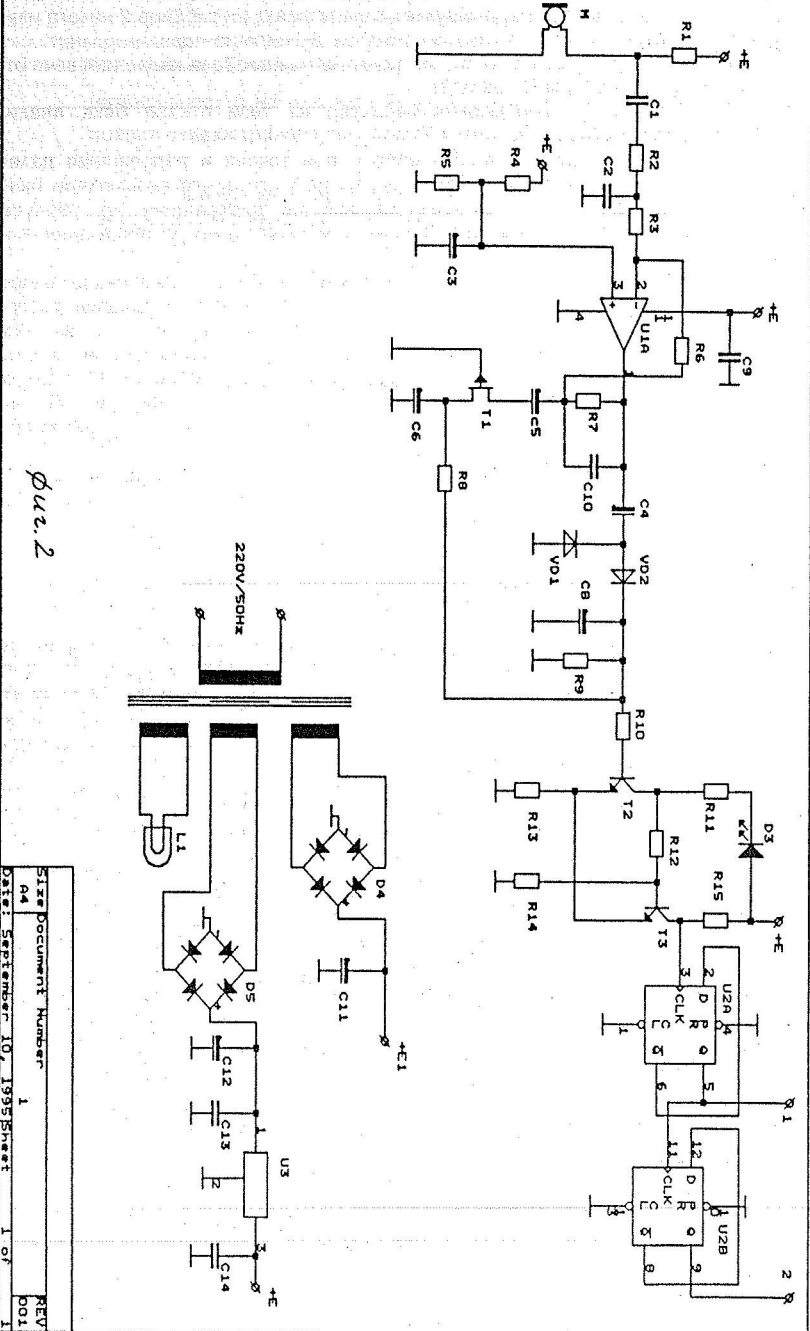
Интегралният греч D4 работи при токове и напрежения далече под максимално допустимите. Оказа се, че дефектирайтите екземпляри (всички от една партида) имат фабрично бъчвовидна деформация на корпуса. При стягането към радиатор явно възникват механични напрежения предизвикващи отчетените дефекти (прекъсвания).

Интегрална схема CM14001CP има максимално захранващо напрежение +12V. В схемата се захранва също с 12V. Като се има предвид разброса на използвания стабилизатор, пулсациите в захранването и наличието на експоненциални отскoci в сигналите, превишаващи 12V, може да се приеме, че отказите са предизвикани от партида ИС с твърде малък резерв по захранващо напрежение. В подкрепа на това твърдение е и факта, че при използване на аналог интегрални схеми с максимално напрежение 18V подобни проблеми не възникват.

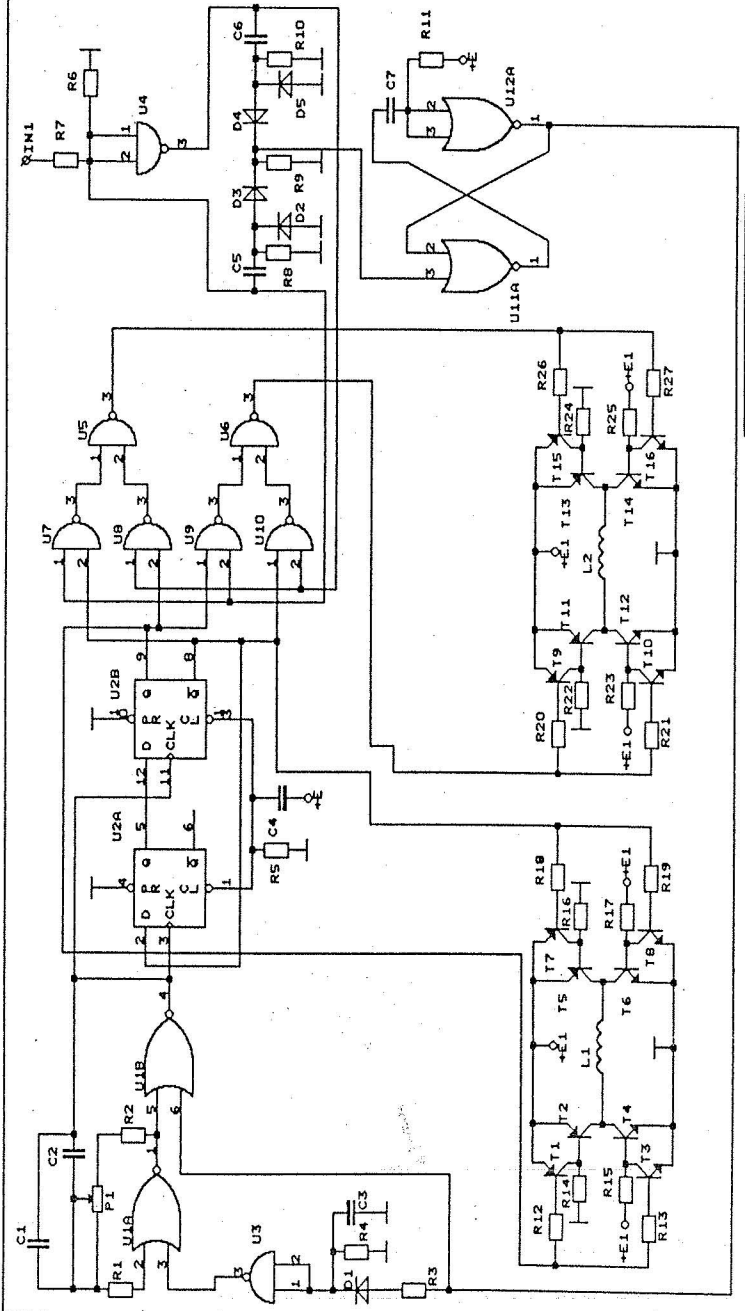
Направените изследвания потвърждават правилото, че при коректно подбрани режими, надеждността на устройствата се определя от надеждността на елементната база.

ЛИТЕРАТУРА

1. Конструктурска документация на контролер за управление на светлинен ефект на фирма "SOUND - MASTER"- ВАРНА .
2. Пранчов Р. , А. Георгиев, Н. Георгиева, Отчет по договор на тема "Оценка на експлоатационна надеждност на ЧГС100", НИС, ТУ-София, С.1991г.
3. Филев В. Д., М. К. Ценкова "Изпитване на надеждност в електроуредостроенето ", С., Т.1980г.
4. "Теория надеждности радиоэлектронных систем в примерах и задачах" Под ред. Г. В. Дружинина М., "Энергия", 1976г.



Six Document Number	1	REV	D01
A4			
Date: September 10, 1995 Sheet	1 of		



Φ42.3

SIZE Document Number 001
A4 Date: September 10, 1995 Sheet 1 of 1
REV 001

ТАБЛИЦА1. ОТКАЗИ В ЕЛЕМЕНТИТЕ НА БЛОК-ФОРМИРОВАТЕЛ

№	НАИМЕНОВАНИЕ НА ОТКАЗАЛНИ ЕЛЕМЕНТ (ГРУПА ЕЛЕМЕНТИ)	ОЗНАЧЕНИЕ	БРОЙ ОТКАЗИ	ВИД НА ОТКАЗА	ВЕРОЯТНОСТ ЗА БЕЗОТКАЗНА РАБОТА ЗА ПЕРИОД ГОД. P*(t ₀)	* λ _{1ср} [1/ч]	λ _{2ср}	СРЕДНО ВРЕМЕДЕОТКАЗ To[h]
1	ДИОД B2M05-3	VD4	17	ПРЕКЪСНАТА ВЕРИГА	0,985	4,8.10 ⁻⁶	5,2.10 ⁻⁶	0,21.106
2	ИНТЕГРАЛНА СХЕМА 1РН7812	U3	6	ШУЛЕВО НАПРЕЖЕНИЕ НА ИЗХОДА	0,995	1,7.10 ⁻⁶	1,85.10 ⁻⁶	0,59.106
3	ИНТЕГРАЛНА СХЕМА 1У0741	U2	4	ДРЕЙФ НА ИЗХОДНОТО ПОСТОЯННО НАПРЕЖЕНИЕ	0,996	1,1.10 ⁻⁶	1,22.10 ⁻⁶	0,9.106
4	КОНДЕНЗАТОР К АП 25V	C5	3	НОВИШЕНА УТЕЧКА	0,997	0,6.10 ⁻⁶	0,65.10 ⁻⁶	1,67.106
5	МИКРОФОН	M	2	ПРОМЯНА НА ЧУСТИВЕЛОСТТА	0,998	0,5.10 ⁻⁶	0,54.10 ⁻⁶	2.106

ТАБЛИЦА2. ОТКАЗИ НА ЕЛЕМЕНТИТЕ В БЛОК-УПРАВЛЕНИЕ СТЪПКОВИ ДВИГАТЕЛИ

№	НАИМЕНОВАНИЕ НА ОТКАЗАЛНИ ЕЛЕМЕНТ (ГРУПА ЕЛЕМЕНТИ)	ОЗНАЧЕНИЕ	БРОЙ ОТКАЗИ	ВИД НА ОТКАЗА	ВЕРОЯТНОСТ ЗА БЕЗОТКАЗНА РАБОТА ЗА ПЕРИОД ГОД. P*(t ₀)	* λ _{1ср} [1/ч]	λ _{2ср}	СРЕДНО ВРЕМЕДЕОТКАЗ To[h]
1	ИНТЕГРАЛНА СХЕМА СМ4001СР	U2	12	ПОЯВА НА ПОЛОЖИТЕЛНО НАПРЕЖЕНИЕ НА ВХОДА НА ИС	0,995	1,71.10 ⁻⁶	1,86.10 ⁻⁶	0,58.106
2	ИНТЕГРАЛНА СХЕМА K561ЛА7	U3	3	ПОЯВА НА ПОЛОЖИТЕЛНО НАПРЕЖЕНИЕ НА ВХОДА НА ИС	0,998	0,43010 ⁻⁶	0,47.10 ⁻⁶	2,32.106
3	ИНТЕГРАЛНА СХЕМА K561ЛА7	U4	2	ПОЯВА НА ПОЛОЖИТЕЛНО НАПРЕЖЕНИЕ НА ВХОДА НА ИС	0,999	0,28.10 ⁻⁶	0,31.10 ⁻⁶	3,57.106
4	ИНТЕГРАЛНА СХЕМА K561 ТМ2	U1	5	ПОЯВА НА ПОЛОЖИТЕЛНО НАПРЕЖЕНИЕ НА ВХОДА НА ИС	0,997	0,71.10 ⁻⁶	0,78.10 ⁻⁶	1,41.106
5.	ДИОДИ ZD1667	VD3,VD4	3	ПРЕКЪСНАТ ПРЕХОД	0,998	0,43.10 ⁻⁶	0,47.10 ⁻⁶	2,32.106
6	БИПОЛЯРНИ ТРАНЗИСТОРИ 2Ш3307В	T1,T7 T3,T15	4	ПРЕКЪСНАТ ПРЕХОД	0,998	0,57.10 ⁻⁶	0,62.10 ⁻⁶	1,75.106
7	БИПОЛЯРНИ ТРАНЗИСТОРИ 2Ш3167В	T3,T8 T10,T16	3	ПРЕКЪСНАТ ПРЕХОД	0,998	0,43.10 ⁻⁶	0,47.10 ⁻⁶	2,32.106
8	БИПОЛЯРЕН ТРАНЗИСТОР 2Т9140В	T2,T5 T11,T13	7	ПРЕКЪСНАТА ВЪЛВА МЕЖДУ ИЗВОДА И КРИСТАЛА	0,997	0,998.10 ⁻⁶	1,1.10 ⁻⁶	1,106
9	БИПОЛЯРЕН ТРАНЗИСТОР 2Т9133В	T4,T6 T12,T14	5	ПРЕКЪСНАТА ВЪЛВА МЕЖДУ ИЗВОДА И КРИСТАЛА	0,997	0,71.10 ⁻⁶	0,78.10 ⁻⁶	1,41.106
10	КОНДЕНЗАТОР КМНП 63V 5%	C1,C2	3	КЪСО СЪЕДИНЕНИЕ МЕЖДУ ИЗВОДИТЕ	0,998	0,43.10 ⁻⁶	0,47.10 ⁻⁶	2,32.106